

12

© 1990 г.

О ТРЕНИИ ПАРЫ Nb—Nb в HeI и HeII

C. A. Зиненко, С. С. Карапетян, А. А. Силин

Исследованы особенности проявления эффекта аномального трения сверхпроводников (АТС) в HeI и HeII.

Изучено влияние термодинамического состояния гелия на характер фрикционного взаимодействия образцов пары Nb—Nb — скорость и кратность снижения коэффициента трения. Выполнена оценка интенсивности отвода тепла, выделяемого при трении из зоны фрикционного контакта, и установлены с помощью понятия характерного времени релаксации, необходимые и достаточные условия проявления эффекта АТС.

Приведены зависимости коэффициента трения пары Nb—Nb в сверхпроводящем состоянии от времени фрикционного взаимодействия в газообразном гелии, HeI и HeII.

Аномальный характер фрикционного поведения сверхпроводников (эффект АТС) описан в работах [1-3]. В частности, установлено, что в результате фрикционного взаимодействия двух ниобиевых образцов в жидким гелию при температуре 4.2 К коэффициент трения f , определяемый как отношение тангенциальной силы, обеспечивающей относительное скольжение образцов, к нормальной силе их сжатия, снижается на порядок и сохраняет аномально низкое значение при нагревании вплоть до комнатной температуры.

В работе [3] было показано, что, с одной стороны, сверхпроводящее состояние труящихся образцов является необходимым условием проявления указанной аномалии их фрикционного поведения и исключение данного условия нагреванием выше T_c (см. также [1]) или включением сверхкритического магнитного поля однозначно приводит к исчезновению эффекта, с другой стороны, в зоне трения при реализации эффекта аномального трения сверхпроводников имеют место температурные вспышки, определенно указывающие на выход из сверхпроводящего состояния малых приповерхностных областей.

К перечисленным экспериментальным фактам из цитированных работ [1-3] следует добавить еще один, неизменно проявляющийся при реализации аномального трения сверхпроводников. Имеется ввиду существование некоторой области значений параметров фрикционного взаимодействия — нормальной силы, сжимающей образцы, и скорости их относительного движения, отвечающей оптимальным условиям воспроизведения эффекта.

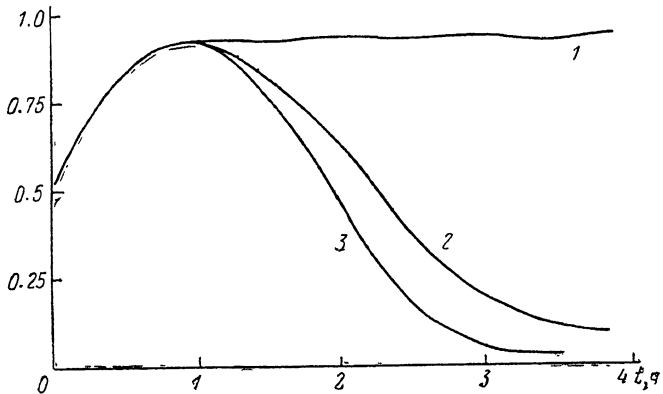
Данная совокупность результатов указывает на важную закономерность: для реализации эффекта АТС решающее значение имеет теплофизическое состояние зоны фрикционного контакта, которое в свою очередь определяется балансом фрикционного тепловыделения, теплоотводом в объем образцов и теплопередачей в окружающий их гелий, а при неизменном режиме трения — последним фактором. Причем теплопередача в гелий в рассматриваемом случае обладает одной существенной особенностью, заключающейся в том, что осуществляется в микроскопических каналах, образованных рельефом шероховатости контактирующих поверхностей. В итоге теплофизическое состояние зоны фрикционного контакта образцов при прочих равных условиях определяется термодинамическим состоянием окружающего их гелия.

В свете сделанных замечаний представлялось актуальным исследовать влияние термодинамического состояния гелия на характер трения сверхпроводни-

ков, уделив особое внимание при этом сравнительному изучению их фрикционного поведения в HeI и HeII.

В качестве наиболее подходящего объекта для решения поставленной задачи была исследована пара Nb—Nb. Основанием для подобного выбора послужили два обстоятельства. Во-первых, ниобиевая трибосистема оказалась наиболее изученной и наилучшим образом воспроизведяющей эффект АТС. Во-вторых, критическая температура сверхпроводящего перехода ниobia существенно выше точки испарения гелия при атмосферном давлении, что позволяло достаточно просто и в широких пределах варьировать состоянием гелиевой среды, реализуя газообразную, жидкую (HeI) или сверхтекучую (HeII) фазы.

Исследования проводились на установке, описанной в работе [8]. Параметры трения оставались неизменными на протяжении всей серии экспериментов: удельное давление в контакте $1.6 \cdot 10^4 \text{ Н/м}^2$ и скорость относительного движения $5 \cdot 10^{-3} \text{ м/с}$. В процессе фрикционного взаимодействия ниобиевых образцов из-



Зависимость коэффициента трения f пары Nb—Nb в газообразном He (1), в HeI (2) и в HeII (3) от времени фрикционного взаимодействия.

меряли силу трения, возникающую между ними, температуру окружающего образца гелия, а также давление паров гелия над поверхностью жидкой фазы.

Зависимости коэффициента трения f от времени фрикционного взаимодействия представлены на рисунке и образуют однопараметрическое семейство кривых. Параметром является температура гелия. Все приведенные кривые $f_{\tau}(t)$ имеют идентичный участок в интервале времени от 0 до t_0 , характеризующий этап адаптации трибосистемы или, как его часто называют, этап приработки. Данный участок типичен для фрикционного взаимодействия широкого круга металлических пар сверхпроводников, подробно описан в предыдущих работах [1–3] и является тривиальным в том смысле, что неизменно воспроизводится в самых разнообразных состояниях, весьма далеких от условий сверхпроводимости.

Расщепление семейства $f_{\tau}(t)$ начинается при $t > t_0$ и представлено тремя характерными ветвями, соответствующими трем предельным ситуациям, реализованным в ниобиевой сверхпроводящей трибосистеме: трение в газообразном гелии при $T=4.5 \text{ К}$ (кривая 1), в жидком HeI (кривая 2) и, наконец, в HeII (кривая 3). Кривая 1 описывает нормальное трение пары: после завершения адаптации трибосистема переходит в стационарное состояние, характеризуемое высоким уровнем фрикционного взаимодействия (среднее значение коэффициента трения составляет 0.7) и сильной неустойчивостью скольжения. Аналогичный характер трения пары наблюдается в широком диапазоне температур при различных условиях, поэтому считается нормальным. Кривые 2 и 3 соответствуют аномальному фрикционному поведению ниобиевых образцов и отражают различия в проявлении эффекта АТС в HeI и HeII.

Весьма существенным для понимания физической природы эффекта представляется тот факт, что скорость и кратность снижения коэффициента трения в сверхтекучем гелии значительно выше, чем в нормальном. Следует также обратить внимание на следующее обстоятельство. Нормальное трение (кривая 1)

реализуется в системе, находящейся ниже критической температуры сверхпроводящего перехода, хотя пребывание образцов в сверхпроводящем состоянии является необходимым условием проявления аномалии трения.

Методика эксперимента разработана таким образом, что позволяет вполне определенно связывать расхождения зависимости $f_x(t)$ при $t > t_0$ (см. рисунок) с интенсивностью отвода тепла, выделяемого при трении, из зоны трения. Остановимся более подробно на особенностях теплообмена в микроскопических зазорах между трущимися образцами и оценим по крайней мере по порядку величины уровень тепловой мощности, отбираемой гелием у поверхности трения.

Символические обозначения и расчетные значения величин, описывающих процесс теплопередачи, приведены в табл. 1. Для каждого из трех предельных случаев в табл. 2 указаны преобладающие механизмы теплоотвода.

Таблица 1

Исходные данные для расчета интенсивности теплоотдачи гелием [4]

Наименование и обозначение величины	Расчетное значение величины		
	в газообразном гелии	в HeI	в HeII
Характеристический размер зазора между образцами δ , м	10^{-5}	10^{-6}	10^{-5}
Протяженность зоны контакта образцов L , м	$5 \cdot 10^{-3}$	$5 \cdot 10^{-3}$	10^{-3}
Скорость относительного скольжения образцов, v , м/с	10^{-3}	10^{-3}	10^{-3}
Плотность гелия p , кг/м ³	1.3	113.9	113.9
Удельная теплоемкость C_p , Дж/кг \times град	$3.4 \cdot 10^3$	—	—
Удельная теплопроводность гелия при атмосферном давлении α , Дж/кг	—	$8.8 \cdot 10^4$	—
Коэффициент поверхностного натяжения, с	—	$3.54 \cdot 10^{-4}$	—
Вязкость гелия η_H , Н·м ² ·с	—	—	10^{-5}
Разность температур между поверхностью трения образцов и температурой гелия ΔT , К	10^{-3}	10^{-3}	10^{-3}
Размерный фактор, β	—	—	10^{-2}
Расстояние, на котором реализуется перепад температур T , Δz , м	—	—	—
Плотность энтропии s , Дж/м ³ ·град (из [5])	—	—	$1.14 \cdot 10^4$

1. Трение в газообразной гелиевой среде при $T=4.5$ К. Тангенциальная и нормальная составляющие скорости движения гелия на границе раздела ниобий—гелий равны нулю. Относительное смещение тел в плоскости скольжения и объем замещенного в зазоре гелия за промежуток времени dt составляют $v \cdot dt$ и $\delta \cdot L \cdot v \cdot dt$. Соответствующая мощность теплоотвода гелием определяется выражением

$$\frac{dQ}{dt} = c_p \cdot p \cdot \Delta T \cdot \delta \cdot L \cdot v \quad (1)$$

и равна $2.5 \cdot 10^{-8}$ Вт.

2. Трение в HeI при атмосферном давлении. Основной вклад в теплоотвод вносит процесс кипения жидкого гелия в зазоре, а удаление из него избыточного объема газовой фазы и поступление в зазор жидкого гелия происходят в результате действия на последний капиллярных сил. Выразив избыточное капиллярное давление в виде [6] $\Delta p = (1/\delta) \cdot 2 \cdot \cos \theta$ и обозначив через w скорость поступления жидкого гелия в зазор, определим w из уравнения Бернулли [7]

$$\Delta p = p \frac{w^2}{2}. \quad (2)$$

Таблица 2

Характеристика моделей процесса теплопередачи в газообразный гелий

Характеристика процесса теплопередачи	Газообразный гелий	HeI	HeII
Преобладающий механизм теплопередачи в гелий	Изобарическое нагревание гелия	Кипение жидкого гелия	Скоррелированное движение сверхтекущей и нормальной компонент
Основное уравнение процесса теплопереноса	$c_p \cdot p \cdot \Delta T \cdot L \cdot V$	$2 \cdot \alpha \cdot p^{1/2} \cdot \delta^{1/2} \cdot (s \times \cos \theta)^{1/2} \cdot L$ $5 \cdot 10^{-8}$	$\frac{\beta \cdot T \cdot (p \cdot s)^2}{\eta_H} \cdot \frac{\Delta T}{\Delta Z} \cdot \delta \cdot L$ $8 \cdot 10^4$
Значение максимальной мощности теплоотвода в гелий, Вт			

Максимальную мощность отводимого тепла определим из условия, что поступающий в зазор в единицу времени жидкий гелий выкипает

$$\frac{dQ}{dt} = p \cdot \alpha \cdot \delta \cdot L \cdot w = 2 \cdot \alpha \cdot p^{1/2} \cdot \delta^{1/2} \cdot L \cdot (\sin \theta)^{1/2} = 5 \cdot 10^{-4} \text{ Вт.}$$

3. Трение в HeII при температуре 1.3 К. Механизм отвода тепла в HeII феноменален и обусловлен скоррелированным относительным движением сверхтекущей и нормальной компонент, причем тепло переносит лишь последняя [8].

Максимальная мощность теплоотвода определяется выражением [8]

$$\frac{dQ}{dt} = \frac{\beta \cdot T \cdot (p \cdot s)^2}{\eta_H} \cdot \frac{\Delta T}{\Delta z} \cdot \delta \cdot L \quad (3)$$

и составляет $8 \cdot 10^4$ Вт.

Таким образом, трем рассмотренным случаям фрикционного взаимодействия ниобиевых образцов в сверхпроводящем состоянии отвечают три отличающихся на порядки уровня мощности теплоотвода, осуществляемого находящимся в зоне контакта гелием. Самы по себе приведенные оценки уровней теплоотвода (табл. 2) гелием мало о чем говорят, если не соотносить их с характеристиками фрикционного тепловыделения и теплоотвода в объем образцов в результате теплопроводности.

Оценим опять-таки по порядку величины параметры теплового состояния в зоне контакта образцов, используя понятие характерного времени релаксации [7].

Время релаксации τ процесса теплопроводности в объем образца будем считать равным l^2/a [7], где l — характерный размер зоны трения образцов, a — коэффициент температуропроводности. Принимая в расчете $l=3 \cdot 10^{-5}$ м, $a=10^{-6} \text{ м}^2/\text{с}$, получим для ниобиевой пары значение $\tau=9 \cdot 10^{-4}$ с. Время релаксации процесса теплопередачи в гелий определим как отношение количества тепла q , выделяемого на поверхности фактического контакта двух трущихся тел, к мощности теплоотвода в гелий с указанной поверхности.

Используя подход работы [9], согласно которому $q=E_{cb} \cdot n$, где E_{cb} — энергия связи атомов тела, n — количество атомов в пределах площади фактического контакта, и принимая размер последней порядка $10^{-4} \cdot L^2$ [10], получим для случая ниобиевой трибосистемы $q \approx 10^{-7}$ Дж.

Для трех исследованных в работе предельных случаев соответствующие характеристические времена составят $\tau_1=10$ с, $\tau_2=2 \cdot 10^{-4}$ с, $\tau_3=1.2 \cdot 10^{-12}$ с. Сравнение времен τ_1 , τ_2 и τ_3 с временем релаксации дает возможность оценить соотношения мощностей теплопередачи в гелий и теплопроводности в объем образцов для каждого рассмотренного случая. Так, при трении в газообразном гелии $\tau_1 > \tau$, что соответствует преимущественному отводу выделяемого тепла в объем образца. Для HeI имеет место обратное соотношение мощностей, что следует из

условия $\tau_2 < \tau$. Наконец, для HeII соотношение времен ($\tau_3 \ll \tau$) таково, что почти все выделяемое тепло отводится в гелий.

Полученные в работе результаты можно интерпретировать следующим образом. Тепло, выделяемое при трении образцов, распространяется в их объем и может привести к выходу из сверхпроводящего состояния их приповерхностных слоев, что в свою очередь инициирует нормальный ход процесса фрикционного взаимодействия. Соответственно отвод тепла гелием способствует сохранению сверхпроводящего состояния в зоне фрикционного контакта. Естественно, что даже при очень высоком уровне отвода тепла гелием будет иметь место переход отдельных малых участков зоны трения в нормальное состояние. В этом смысле изученные предельные случаи трения ниобия различаются лишь количественно: размерами и продолжительностью существования нормальных участков в контакте. Вместе с тем описанные эксперименты определенно показали, что данные количественные различия приводят к коренным качественным изменениям.

Таким образом, из рассмотренного ясно, что для проявления эффекта АТС необходимым и достаточным условием является требование $T < T_c$, $\tau < \tau'$, где T и T_c — соответственно температура и критическая температура сверхпроводящего перехода образцов, а τ и τ' — времена релаксации процессов теплопередачи в гелий и теплопроводности в их объем.

Список литературы

- [1] Духовской Е. А., Карапетян С. С., Морозов Ю. Г. и др. // ДАН СССР. 1977. Т. 235. № 2. С. 331—334.
- [2] Духовской Е. А., Зиненко С. А., Силин А. А. // ЖТФ. 1987. Т. 57. Вып. 8. С. 1684—1686.
- [3] Духовской Е. А., Гладышев С. П., Зиненко С. А., Силин А. А. // Трение и износ. 1988. Т. 9. № 6. С. 1089—1094.
- [4] Таблицы физических величин. Справочник / Под ред. И. К. Кикоина. М.: Атомиздат, 1976. 1005 с.
- [5] Wilkes J. The Properties of Liquid and Solid Helium. London: Oxford Univ. Press, 1967. 216 p.
- [6] Яворский В. М., Демлаф А. А. Справочник по физике. М.: Наука, 1985. 512 с.
- [7] Ландау Л. Д., Либшиц Е. Ф. Теоретическая физика. Гидродинамика. М.: Наука, 1988. Т. VI. 733 с.
- [8] Тилли Д. Р., Тилли Дж. Сверхтекучесть и сверхпроводимость. М.: Мир, 1977. 304 с.
- [9] Зиненко С. А., Карапетян С. С. // Трение и износ. 1982. Т. 3. № 1. С. 170—175.
- [10] Крагельский И. В., Добычин М. Н., Комбалов В. С. Основы расчетов на трение и износ. М.: Машиностроение, 1977. 526 с.

Поступило в Редакцию
9 января 1989 г.
В окончательной редакции
28 апреля 1989 г.